# Разработка керамического диэлектрика для применения в антенной технике

А. С. Антонова<sup>1</sup>, А. С. Анохин<sup>1</sup>, А. В. Еськов<sup>1</sup>, А. С. Антонов<sup>2</sup>

<sup>1</sup>Санкт-Петербургский государственный электротехнический университет «ЛЭТИ» им. В.И. Ульянова (Ленина)

<sup>2</sup>АО «НПП «Радар ммс», Санкт-Петербург

as.antonova17@gmail.com

Аннотация. В работе представлены результаты комплексного исследования микрополосковой антенны (МПА) для навигационной аппаратуры потребителя (НАП), основанной на перспективной отечественной керамической подложке твердого магния-стронция (1-x)Mg2TiO<sub>3</sub>-xSrTiO<sub>3</sub>. ортотитаната Методом высокотемпературного твердофазного синтеза освоено производство керамики с заданными свойствами и температурной стабильностью <2% в температурном диапазоне от —10°C до 120°C. Разработанная антенна на основе материала 0.8Mg2TiO4-0.2SrTiO3 демонстрирует значительный потенциал для создания современных отечественных МПА.

Ключевые слова: керамика; антенны; титанат стронция; титанат магния

### I. Введение

Активное развитие отечественной спутниковой навигации предъявляет все более высокие требования к НАП [1]. Ключевыми направлением совершенствования НАП является разработка антенных решеток нового поколения, характеризующихся компактностью, и высокой эффективностью [2]. В этом контексте сверхкомпактные антенные решетки, где расстояние между элементами существенно меньше  $\lambda/2$ , а размеры самих элементов не превышают  $\lambda/4$  (где  $\lambda$  – длина волны на рабочей частоте), а к одиночным элементам решетки предъявляются такие требования, как высокий КПД (>80%), стабильная круговая поляризация (коэффициент эллиптичности < 3дБ) и широкая диаграмма направленности, становятся стратегически важным решением.

различных резонаторов МΠА Среди типов значительный потенциал демонстрируют использования в антенных решетках НАП благодаря ряду преимущественных характеристик [3]. Однако достижение требуемой миниатюризации одиночных МПА представляет собой нетривиальную инженерную задачу. Одним из наиболее очевидных эффективных путей ее решения является применение в качестве подложки диэлектрических материалов с высокой диэлектрической проницаемостью ( $\varepsilon_r$ )

Керамические диэлектрики открывают уникальные перспективы. Они способны обеспечивать высокие значения  $\varepsilon_r$  (в диапазоне ~10...120) в сочетании с относительно низкими значениями тангенса угла диэлектрических потерь  $tg\delta$ , (в диапазоне  $10^{-4}...10^{-3}$ ) [4]. оптимального керамического материала, сочетающего необходимые электродинамические свойства с технологичностью и стабильностью, является отечественных фундаментальным ДЛЯ создания компонентов. Это позволит решить ряд задач для специальных потребителей: обеспечить технологический повысить помехозащищенность суверенитет, надежность аппаратуры благодаря использованию

материалов с известными и стабильными характеристиками, а также миниатюризировать конструкцию НАП.

Целью данной работы является исследование перспективности применения керамики на основе твердых растворов титаната магния-стронция и ортотитаната магния-стронция  $(1-x)MgTiO_3-xSrTiO_3$  и  $(1-x)Mg_2TiO_4-xSrTiO_3$  в качестве диэлектрической подложки для сверхкомпактных МПА. В рамках данной работы были поставлены следующие задачи:

- На основе электродинамического моделирования определить требования к диэлектрическим свойствам (ε<sub>r</sub>, tgδ) и толщине (h) подложки для малогабаритной МПА L-диапазона.
- Синтез серии керамических образцов системы  $(1-x)Mg_2TiO_3-xSrTiO_3$  с варьируемым содержанием титаната стронция.
- Экспериментальное определение диэлектрических свойств и температурной стабильности синтезированных образцов.
- Определение оптимального состава керамики для изготовления подложки с заданными параметрами.

# II. ТРЕБОВАНИЯ К ПОДЛОЖКЕ МПА, СИНТЕЗ И ДИЭЛЕКТРИЧЕСКИЕ СВОЙСТВА КЕРАМИКИ

Зависимость характерного размера резонирующей пластины прямоугольной МПА от диэлектрических свойств подложки определяется выражением [5]

$$a = \frac{\lambda}{2\sqrt{\varepsilon_r}},\tag{1}$$

где a — размер стороны резонирующей пластины,  $\lambda$  — длина волны. На рис. 1 представлена зависимость коэффициента полезного действия ( $\eta$ ) МПА от толщины диэлектрической подложки h, полученная методом конечных элементов в среде электродинамического моделирования. Моделирование проведено для фиксированных значений относительной диэлектрической проницаемости подложки  $\varepsilon_{\rm r}=30$  и тангенса угла диэлектрических потерь  $tg\delta=0.008$  в диапазоне частот L. Полосу рабочих частот МПА можно оценить, как [6]:

$$BW = \frac{16phWq}{3\sqrt{2}e_{,\mathcal{E}_{n}}\lambda L},\tag{2}$$

где W — ширина МПА, L — длина МПА,  $p=1-\frac{1.6605}{20}(k_{\scriptscriptstyle 0}W)-0.00119142(k_{\scriptscriptstyle 0}L)^2\,, \qquad q=1-\frac{1}{\varepsilon_{\scriptscriptstyle r}}+\frac{2}{5e_{\scriptscriptstyle r}}\,,$ 

 ${
m e_r}-{
m K\PiД}$  антенны, связанный с возбуждением поверхностных волн в подложке, а также потерями в металле и диэлектрике,  $k_0$  — волновое число.

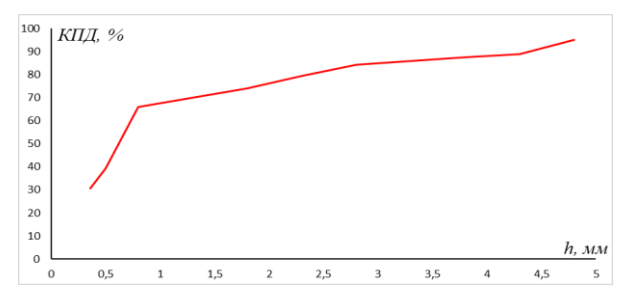


Рис. 1. Зависимость КПД МПА от толщины подложки

Из анализа выражения (1) следует, что для достижения размера резонирующей пластины МПА порядка 20 мм в диапазоне L1 требуется материал подложки с  $\epsilon_r \approx 30$ . Согласно результатам моделирования, представленным на рис. 1, значение КПД  $\eta \geq 80\%$  достигается при толщине подложки  $h \geq 2.5$  мм. Материалом, удовлетворяющим указанным требованиям по  $\epsilon_r$ , может служить керамика на основе твердых растворов титаната магния-стронция  $((1-x)MgTiO_3-xSrTiO_3)$  и ортотитаната магния-стронция  $((1-x)Mg_2TiO_4-xSrTiO_3)$ .

Для диэлектрических измерений были изготовлены образцы в виде дисков диаметром 12 мм и толщиной 2 мм. Изготовление экспериментальных образцов производилось методом высокотемпературного твердофазного синтеза в 2 стадии:

- Предварительно на основе исходных оксидов и карбонатов были изготовлены шихты титаната/ортотитаната магния (МТО/ОМТ) и титаната стронция (STO). Исходные компоненты были смешаны и измельчены в среде изопропилового спирта, а затем кальцинированы в течение 2-х часов при температурах 1200 °C.
- На втором этапе полученные керамики MTO/OMT и STO были повторно измельчены и смешаны в указанных мольных долях, полученная шихта была равномерно смешана с пластификатором на основе ПВС и спрессована при давлении ~0.5 ГПа. Далее сырые заготовки были спечены при высоких температурах.

В табл. 1 приведены параметры изготовленной керамики.

ТАБЛИЦА I. Параметры изготовленных керамических образцов

Обозначение материала	Стехиометрический состав	Температура синтеза
MTO	MgTiO3	1450
OMT	Mg2TiO4	
085MTO-STO	0.85(MgTiO3) -	
	0.15(SrTiO3)	
085OMT-STO	0.85(Mg2TiO4) -	1400
	0.15(SrTiO3)	
08OMT-STO	0.8(Mg2TiO4) -	
	0.2(SrTiO3)	

На рис. 2 показаны экспериментально определенные зависимости  $\varepsilon_r$  и  $tg\delta$  синтезированной керамики (1-x)Mg<sub>2</sub>TiO<sub>4</sub>-xSrTiO<sub>3</sub> от мольной доли SrTiO<sub>3</sub>. Повышение доли титаната стронция в твердом растворе позволяет повысить диэлектрическую проницаемость керамики, однако, это приводит к росту вносимых

потерь и снижению температурной стабильности материала в рабочем диапазоне температур.

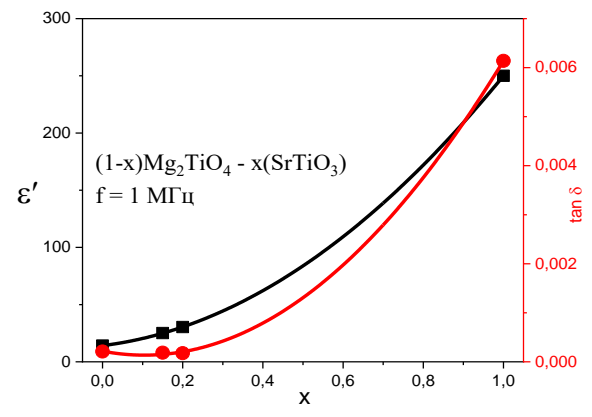
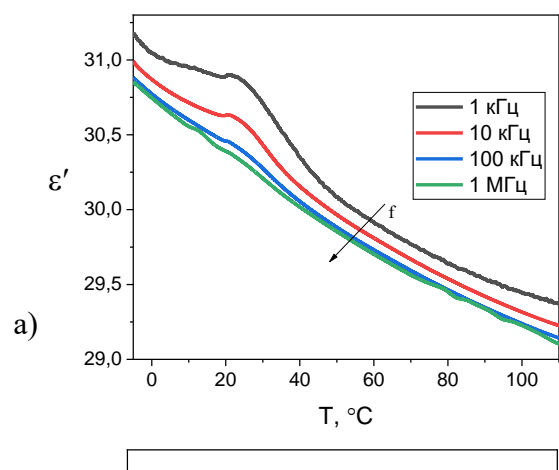


Рис. 2. Зависимость диэлектрической проницаемости и тангенса угла диэлектрических потерь в образцах  $(1-x)Mg_2TiO_4$ –xSrTiO3 от содержания титаната стронция при комнатной температуре

Было определено, что твердые растворы на основе ортотитаната обеспечивают существенно большую температурную стабильность диэлектрической проницаемости при сопоставимом уровне потерь, поэтому в качестве основного материала керамики для разработки антенны был выбран состав 0.8ОМТ-STO, демонстрирующий величину диэлектрической проницаемости ~30 вплоть до 8 ГГц при уровне потерь менее  $10^{-3}$  Температурные зависимости  $\epsilon_r$  для состава  $0.8 {
m Mg}_2 {
m TiO4} - 0.2 {
m SrTiO}_3$ , измеренные на различных частотах, представлены на рис. 3a. Сравнительные температурные зависимости  $\epsilon_r$  для образцов различного состава приведены на рис. 3б.



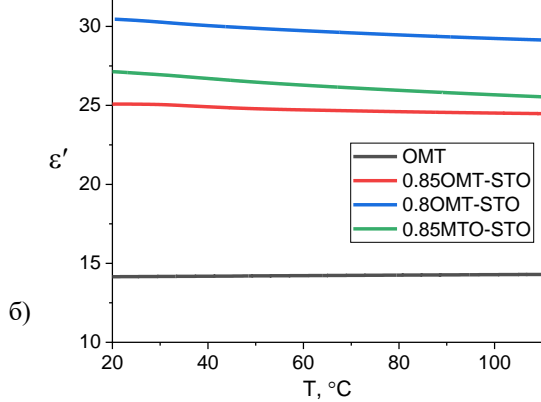


Рис. 3. Температурная зависимость диэлектрической проницаемости (а) для образца  $0.8 Mg_2 TiO_4 - 0.2 Sr TiO_3$  на разных частотах; (б) для образцов разного состава на частоте  $100~\mathrm{k\Gamma}$ ц

# III. РЕЗУЛЬТАТЫ ЭЛЕКТРОДИНАМИЧЕСКОГО МОДЕЛИРОВАНИЯ АНТЕННЫ

Диэлектрические параметры синтезированного материала  $0.8 \text{Mg}_2 \text{TiO}_3 - 0.2 \text{SrTiO}_3$ использованы качестве входных данных для трехмерного электродинамического моделирования проектируемой МПА. Моделирование выполнено методом конечных элементов. Геометрия антенны И топология металлизации были выбраны исходя из требований к достижению максимально узкой полосы приема, КПД антенны минимальной максимального И эллиптичности диаграммы направленности. Геометрия модели антенны представлена на рис. 4а. Габаритные размеры антенны (включая диэлектрическую подложку) составляют  $19.8 \times 19.8 \times 2.5$  мм. На рис. 46 показана смоделированная частотная зависимость коэффициента отражения разработанной МПА в диапазоне L1.

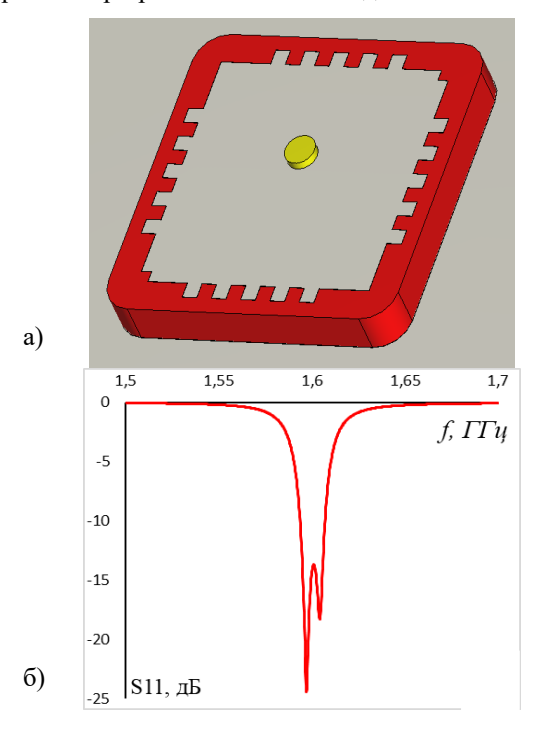
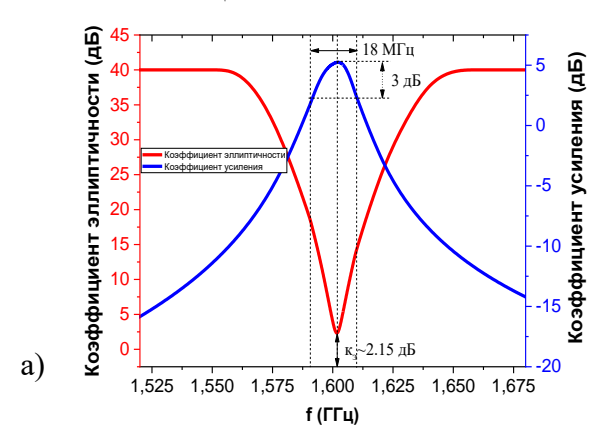


Рис. 4. Внешний вид антенны (a) и частотная зависимость коэффициента отражения (б)

Рис. 5a и 56 иллюстрирует следующие ключевые характеристики антенны на центральной частоте диапазона L1 ( $f_0$ ): Значение коэффициента эллиптичности составило 2,15 дБ, ширина диаграммы направленности не менее 96 градусов, полоса рабочих частот BW = 18 МГц.



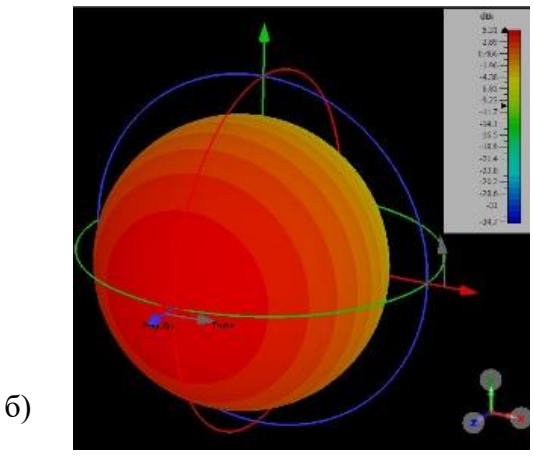


Рис. 5. Частотные зависимости коэффициентов эллиптичности и усиления разработанной антенны (а) и диаграмма направленности на центральной частоте диапазона L1 (б)

#### IV. ЗАКЛЮЧЕНИЕ

Проведенные исследования демонстрируют, что керамика на основе твердого раствора ортотитаната магния-стронция  $(1-x)Mg_2TiO_4$ -xSrTiO<sub>3</sub>, в частности состав  $0.8Mg_2TiO_4$ -0.2SrTiO<sub>3</sub>, обладает комплексом диэлектрических свойств ( $\epsilon r \approx 30$ , tg $\delta \sim 10^{-3}$ ), важных для создания малогабаритных микрополосковых антенн в диапазоне частот L.

Керамика 0.8Mg2TiO4-0.2SrTiO<sub>3</sub> представляет собой перспективную отечественную основу для производства антенн. Достигнутые результаты в области синтеза и характеристик материала являются существенным шагом на пути к серийному выпуску современных антенных модулей для отечественной аппаратуры потребителя.

## Список литературы

- [1] Бордачев В.А. Исследование устройства и ТТХ космического аппарата «ГЛОНАСС-М» // Современные технологии: проблемы и перспективы: сборник статей всероссийской научнопрактической конференции для аспирантов, студентов и молодых учёных, Севастополь, 15–18 апреля 2024 года. Севастополь: Севастопольский государственный университет, 2024. С. 60-65.
- [2] Эффективность применения сверхкомпактной антенной системы в компенсаторе помех / А.В. Немов, Д.А. Немов, Д.Л. Минь, С.А. Савельев, А.Н. Пластиков // Известия высших учебных заведений России. Радиоэлектроника. 2018. № 2. С. 37-46.
- [3] Антонов А.С., Капылов Е.Л. Двухрезонансная антенна Lдиапазона круговой поляризации // Антенны и распространение радиоволн: сб. докл. Всероссийской научно-технической конференции, Санкт-Петербург, 23–25 октября 2024 года. Санкт-Петербург: СПбГЭТУ "ЛЭТИ", 2024. С. 33-36.
- [4] Толкачева А.С., Павлова И.А. Технология керамики для материалов электронной промышленности: уч. пособие в двух частях: Часть 1. 2019.
- [5] Пименов Ю.В., Вольман В.И., Муравцов А.Д. Техническая электродинамика. М.: «Радио и связь», 2000, 536 с.
- [6] Илларионов И.А. Трехдиапазонная микрополосковая антенна круговой поляризации для бортовой и наземной аппаратуры спутниковой навигации / И.А. Илларионов, Е.Л. Варенцов, М.И. Дудкин // Антенны. 2020. № 2(264). С. 19-29.